



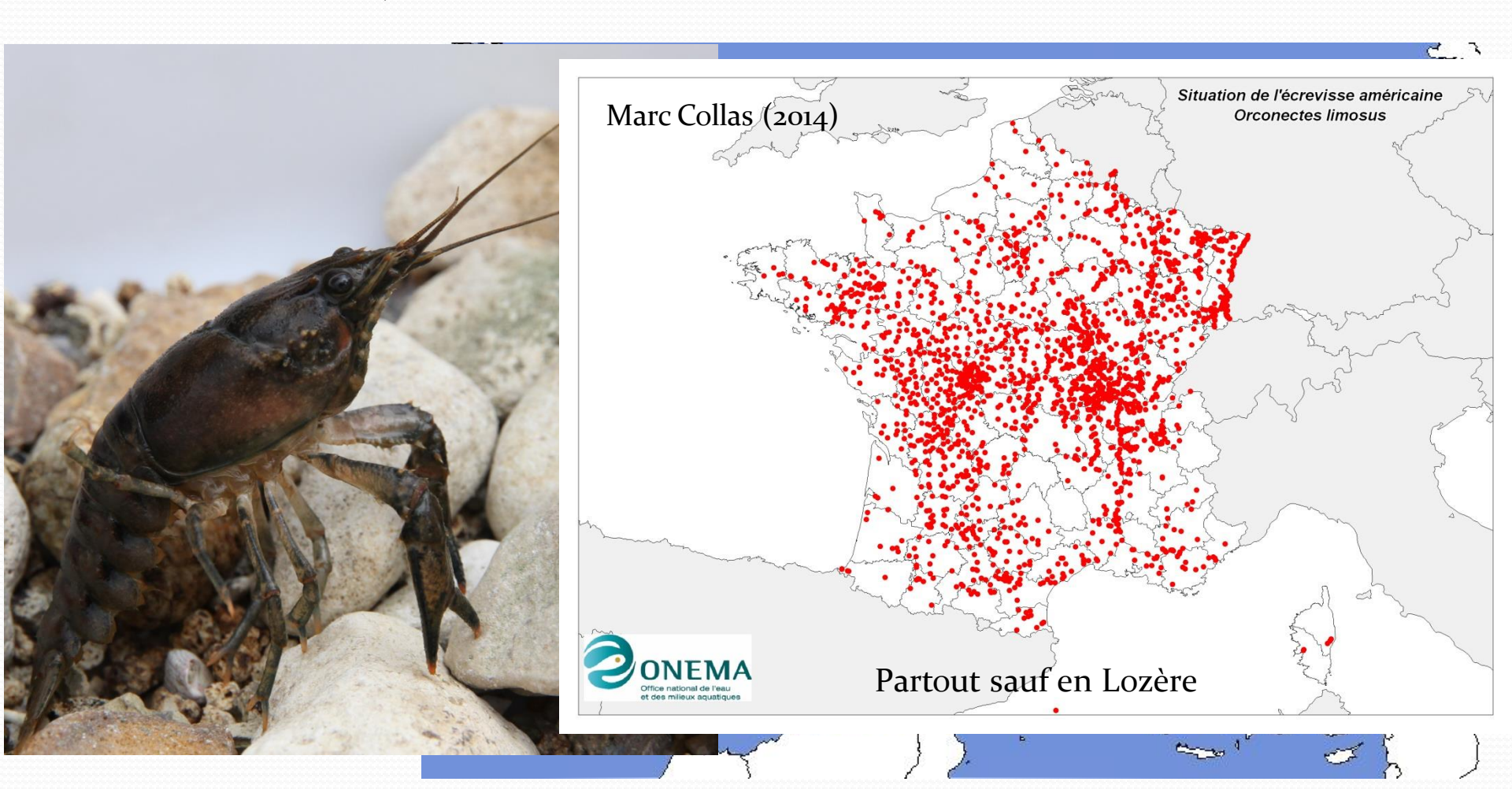
ADNe appliqué dans un contexte hôtes/pathogènes : cas des écrevisses invasives

- Frédéric Grandjean
- Laboratoire Ecologie et Biologie des Interactions,
- Equipe Ecologie, Evolution, Symbiose





- Orconectes limosus, écrevisse américaine

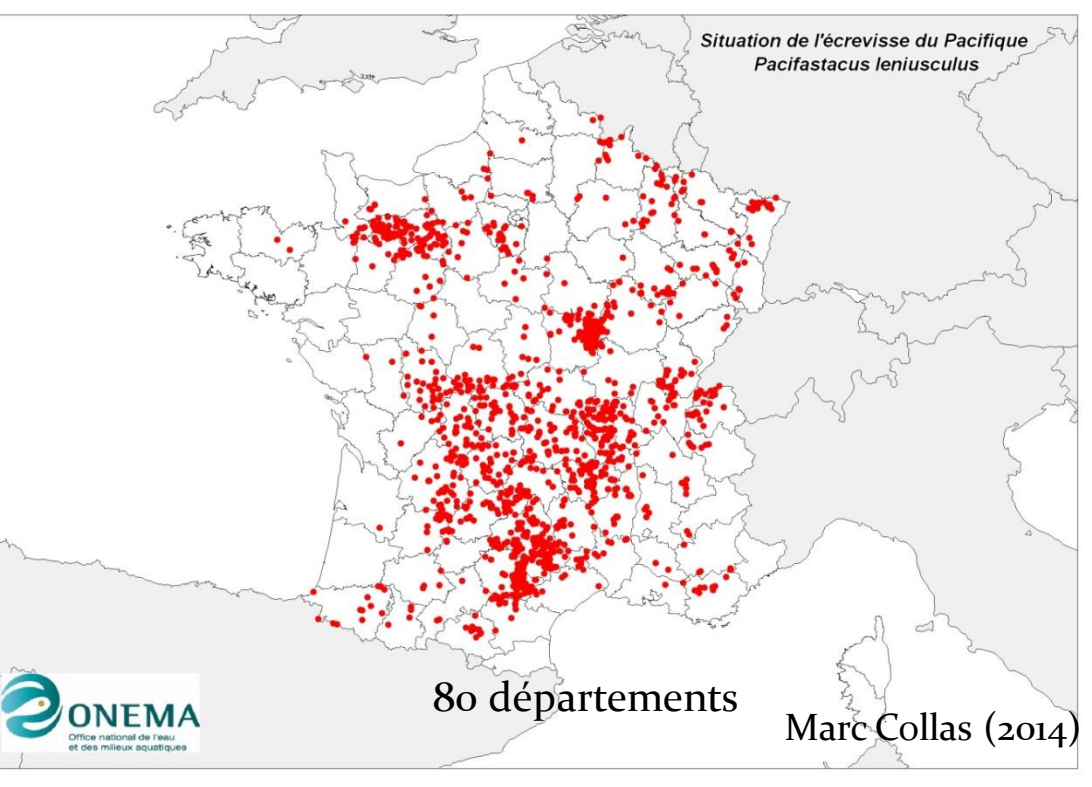


Cours d'eau intermédiaire

- Pacifastacus leniusculus, écrevisse signal de Californie



- 1^{ère} introduction Suède 1959 (60 000)
- 1973-1977 importation de 18 000 juvéniles en France

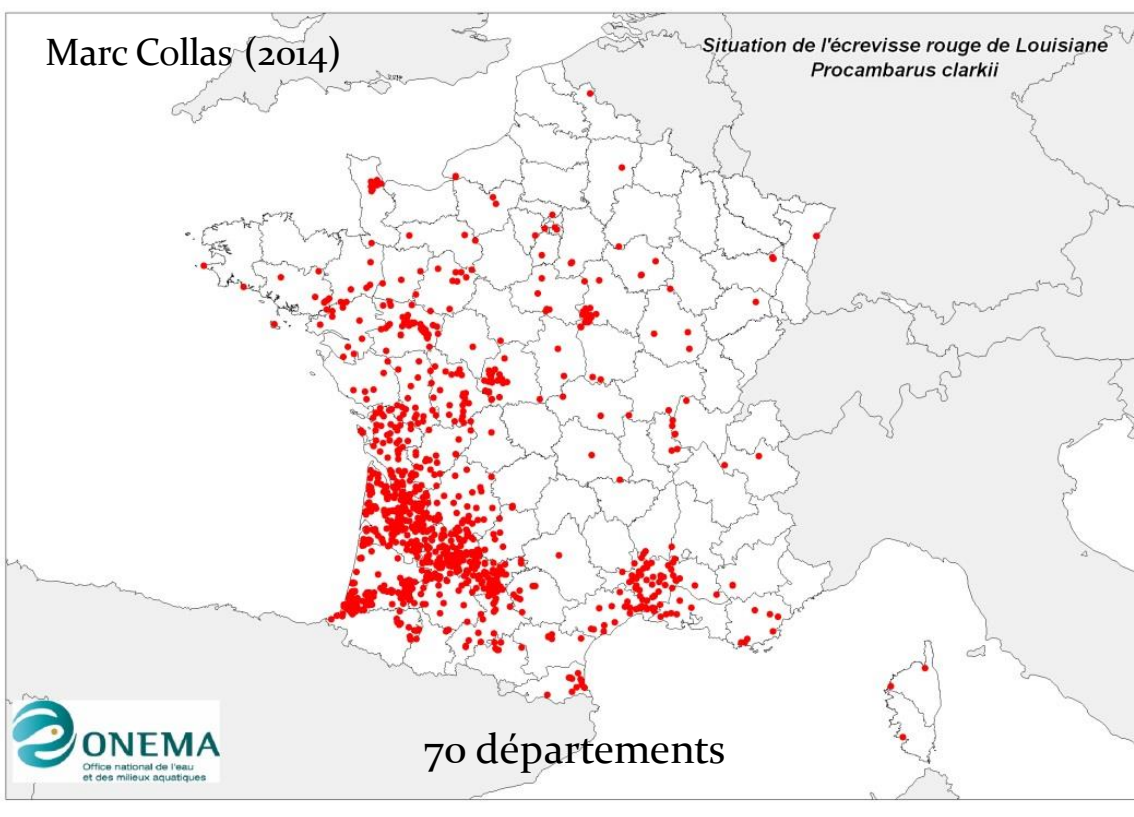


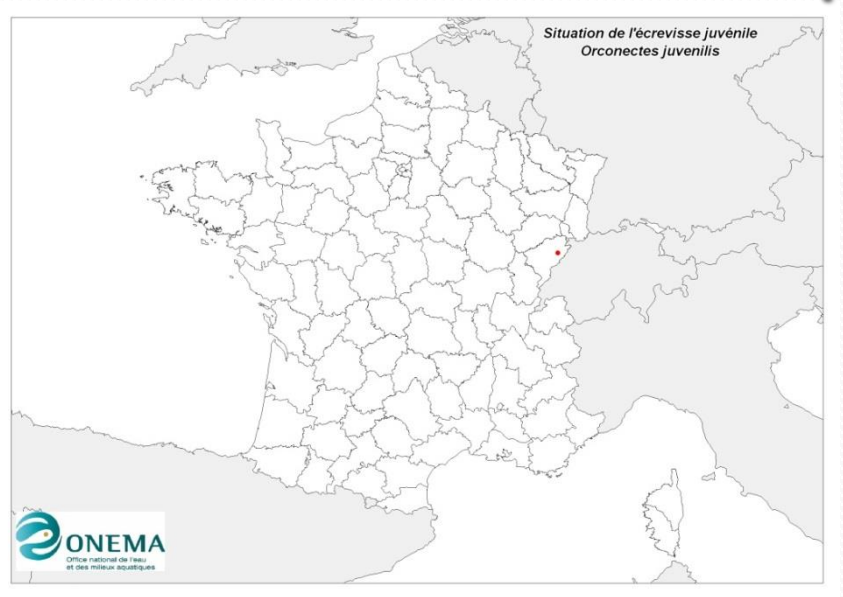
Têtes de bassin hydrographique

- Procambarus clarkii, écrevisse de Louisiane



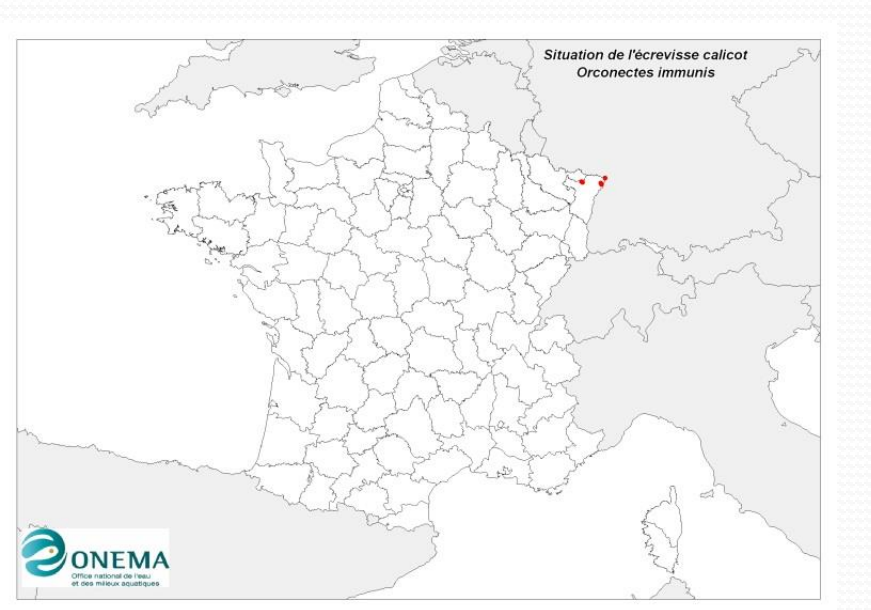
1ère introduction Espagne 1976; Importation en France jusqu'en 1983







- Orconectes juvenilis, écrevisse juvénile





- Orconectes immunis, écrevisse calicot



Ecrevisse de Louisiane (Procambarus clarkii)

Ecrevisse Américaine (Orconectes limosus)

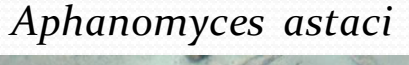
<u>Ecrevisse de Californie</u> (*Pacifastacus leniusculus*)

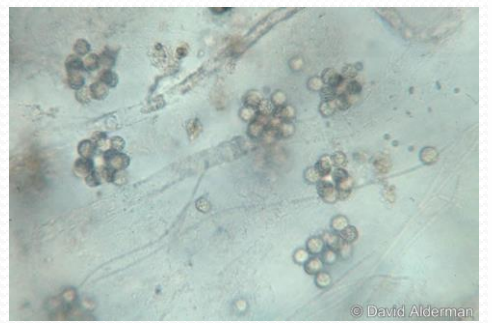
Impacts:

- Diminution de la biodiversité (flotistique et faunistique)
- Destruction d'habitat
- Porteuses de pathogènes (Chytridiomycose, Aphanomycose,

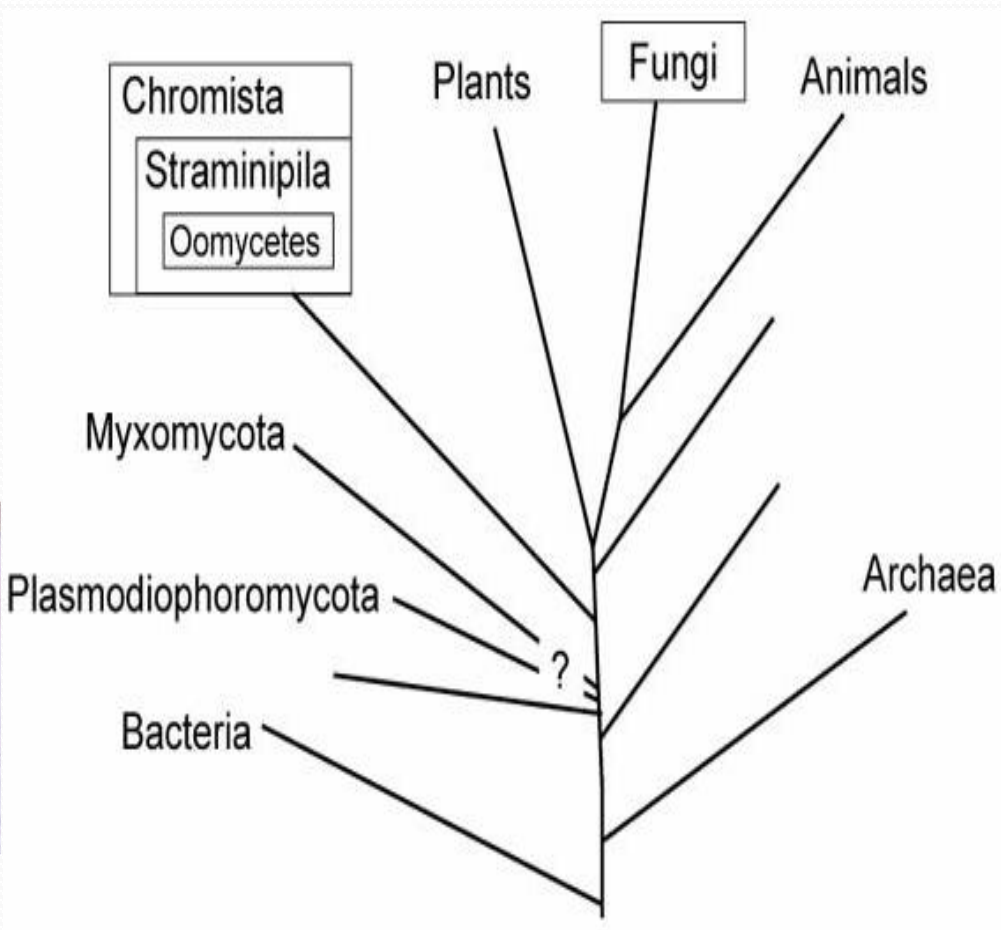


Position phylogénétique d' A. astaci



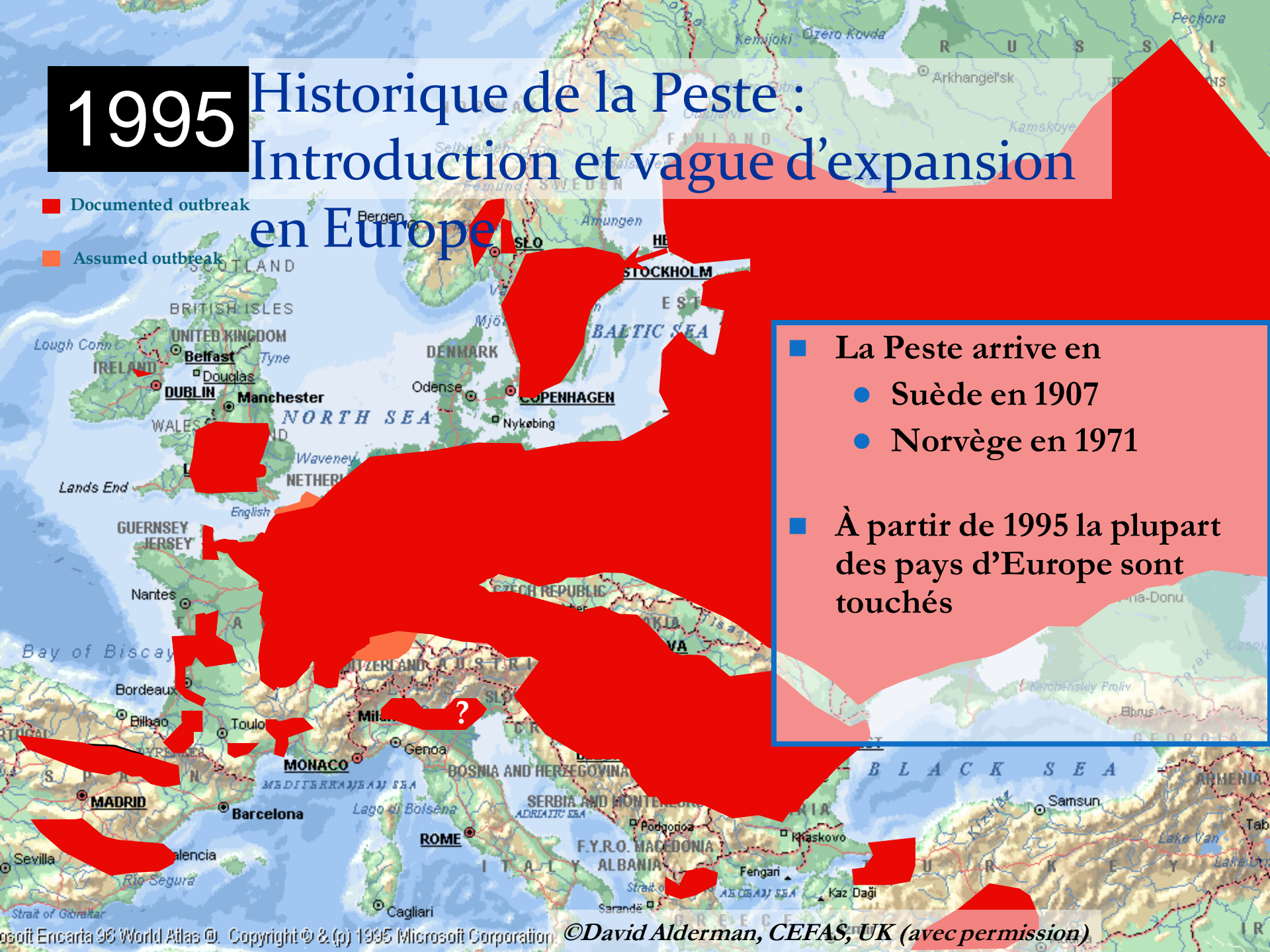




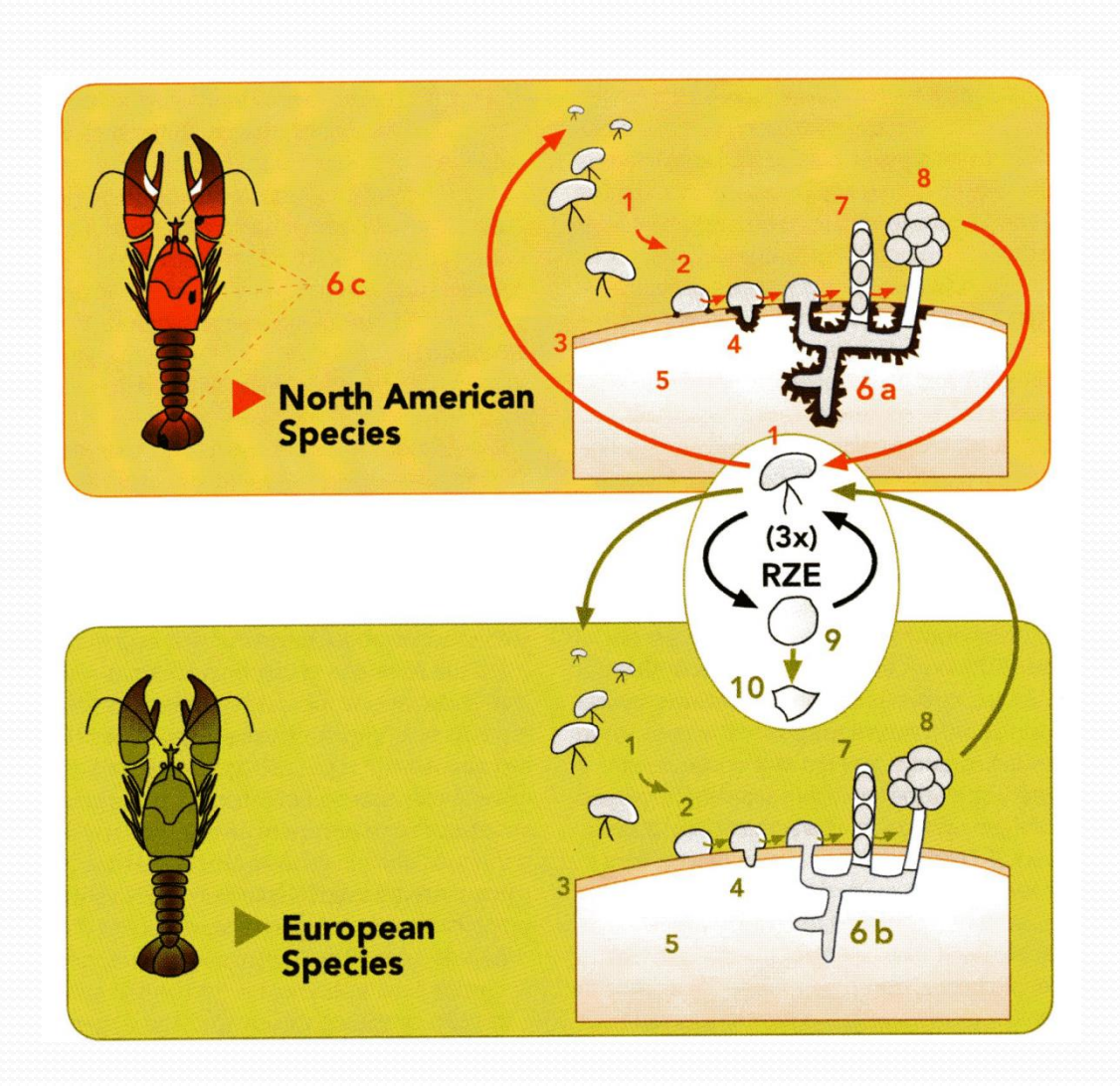


Link et al. 2002

1895 Historique de la Peste: Introduction et vague d'expansion à travers l'Europe Mortalité massive observée Saint Petersburg Mortalité suspectée STOCKHOLM BALTIC SEA DENMARK DUBLIN Manchester Mortalités massives reportée COPENHAGEN en Italie 10 ans plus tard même Lands End 🖛 observations en France English La peste s'étend alors EZECH REPUBLI Nantes o rapidement à travers l'Europe Bay of Biscay Bordeaux O Bilbao Toulo ⊙ Genoa MADRID Lago di Boisena Barcelona ROME Valencia osoft Encarta 96 World Atlas @. Copyright © & (p) 1995 Microsoft Corporation. © David Alderman, CEFAS, UK (avec permission)



La peste des écrevisses (Aphanomyces astaci, oomycète)





P. leniusculus infectée, porteuse saine



A. astacus morte (Plivitce, Croatie)

Détection de la peste



- Broyage de la cuticule (partie ventrale abdomen, uropodes)
- Extraction d'ADN
- Q-PCR (amplification de l'ADN) avec des amorces spécifiques (Vralstad et al. 2009)

 Vol. 97: 113–125, 2011
 DISEASES OF AQUATIC ORGANISMS
 Published December 6

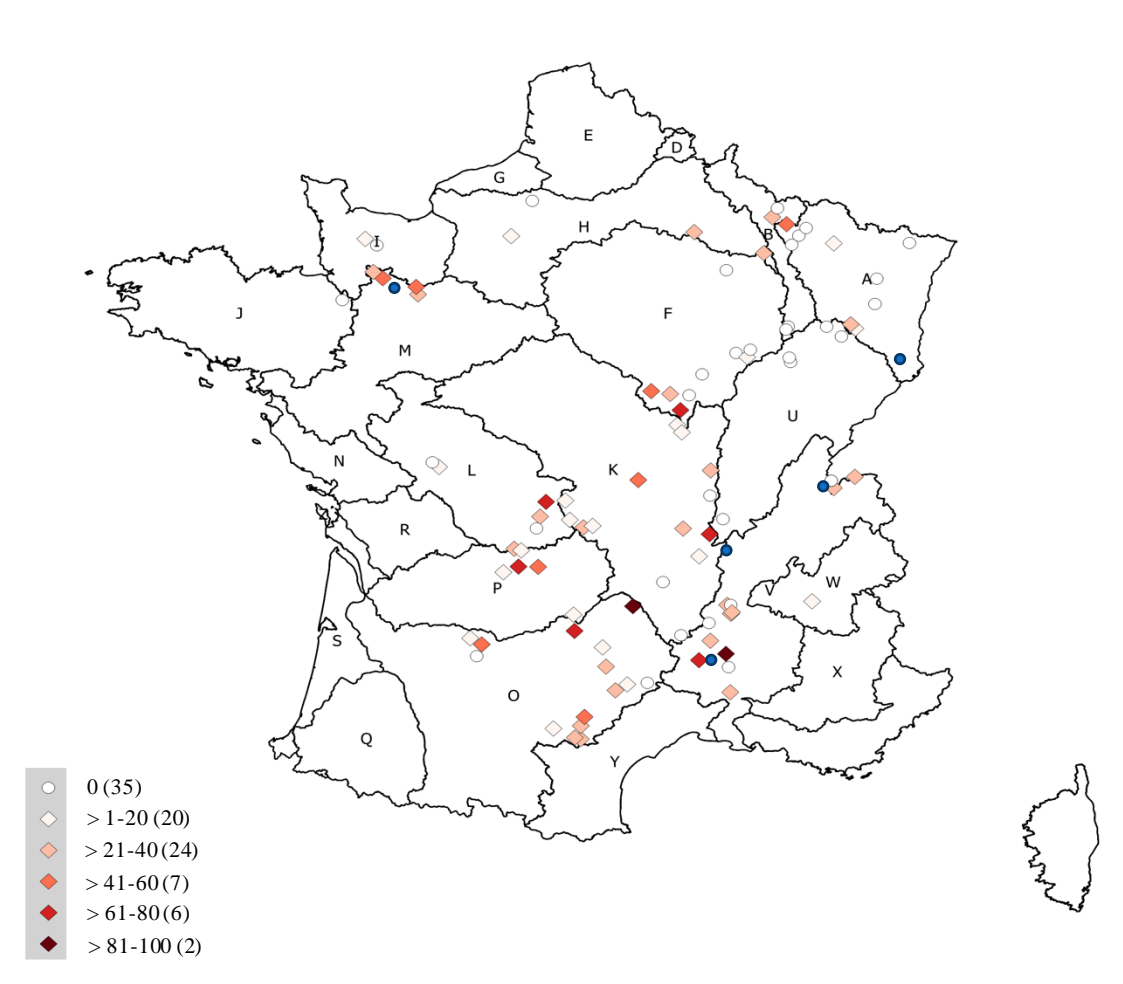
 doi: 10.3354/dao02411
 Dis Aquat Org
 Published December 6

Re-examination of the prevalence of Aphanomyces astaci in North American crayfish populations in Central Europe by TaqMan MGB real-time PCR

Eva Kozubíková^{1,*}, Trude Vrålstad^{2,3}, Lenka Filipová^{1,4}, Adam Petrusek¹

100-100 (100 (100 (100 (100 (100 (100 (1				
Niveau d'infection	Signification			
Ao	Négatif			
A1	Traces d'A. astaci			
A2	Très faible présence			
A3	Faible présence			
A4	Présence modérée			
A5	Haut niveau de présence			
A6	Très haut niveau de présence			
A ₇	Niveau de présence exceptionnellement fort			

Taux d'infestation des populations de P. leniusculus



Echantillonnage:

- 89 populations
- 1030 individus

55 populations infestées sur 89 . (1030)

Filipova et al. 2013 Grandjean et al. 2017



ADNe pour la détection d'écrevisses



Journal of Applied Ecology 2014, 51, 871-879

Environmental DNA surveillance for invertebrate species: advantages and technical limitations to detect invasive crayfish Procambarus clarkii in freshwater ponds

Anne Tréguier^{1,2,3}, Jean-Marc Paillisson³, Tony Dejean⁴, Alice Valentini⁴, Martin A. Schlaepfer^{1,2} and Jean-Marc Roussel^{1,2}

Etude : Comparaison de deux techniques d'échantillonnage de P.clarkii :



ADNe vs. Nasses



Méthodes d'échantillonnage

- ADNe = Détection de l'ADN d'une espèce à partir d'eau de la mare
 - 120m de périmètre maximum
 - Prélèvement de 20 x 40 mL
 - 6 sous-échantillons de 15 mL
 - 12 qPCR sur 1 des sous-échantillons

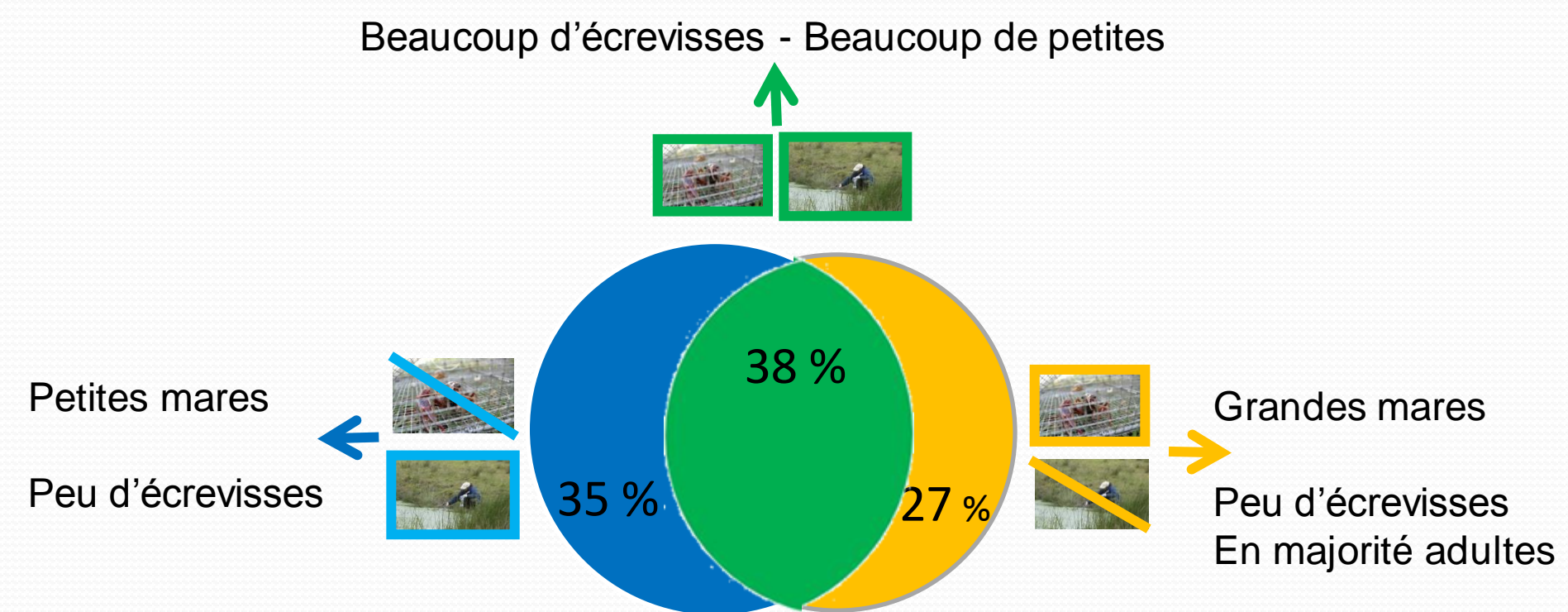


- 2. Nasses = Piégeage d'écrevisses
 - 24 h
 - Nombre de nasses : 1 pour 10 m de rive
 - CPUE (Catch Per Unit Effort)
 - 2 classes de taille



Détection par les 2 méthodes : réseau de 158 mares

Taux de détectabilité ADNe 59 %



-Conclusions

- -Nasses & ADNe : complémentaires
- -ADNe : Efficacité de détection supérieure
- -Nasses: Estimations fiables de l'abondance

ADNe pour la détection d'écrevisses

Méthodologie non standardisée

			Taille			Nbre de	Vol. Eau	
Auteur	Espèces	Gene	produit	Q-PCR	Site	Site	échantillonné/site	Volume filtré
Treguier et al 2014	P. clarkii	COI	65	Sonde Taq man	Etang < 120 m	158	40 ml X 20	15ml
Mauvisseau et al 2016	P. leniusculus	COI	114	Taq man et SYBR green	Etangs 0.07 à 16 Ha	31	15 ml X 10	15 ml
	O. limosus	COI	78					
	P. clarkii	COI	73					
Dougherty et al 2016	O. rusticus	COI	128	Eva green	Lacs 61 à 338 ha	12	250 ml X 10	250 ml X 10
Ikeda et al 2017	C. japonicus	COI	124	Sonde Taq man	Cours d'eau, L < 2 m	21	1 L	1 L
Cai et al. 2017	P. clarkii	COI	65	Sonde Taq man	Etang	32	1L X 15	15 L
						14 dont		
Larson et al 2017	0.rusticus	COI	128	Eva green	Lacs et rivieres	5 lacs	250 ml X 10	250 ml X 10
	P. leniusculus	COI	184	Eva green	Lacs	11	250 ml X 10	
Agersnap et al 2017	A. astacus	COI	45 et 65	Sonde Taq man	Lacs, rivière	23	500 ml à 14 L	500ml à 14 L
	P. leniusculus	COI	45 et 65	Sonde Taq man				
	A.							
	leptodactylus	COI	45 et 65	Sonde Tag man				

Taux de Détection

Auteur	Espèces	Nbre de Site	Détection
Ikeda et al 2017	C. japonicus	21	100%
Treguier et al 2014	P. clarkii	158	59%
Cai et al. 2017	P. clarkii	32	68%
Dougherty et al 2016	O. rusticus	12	100%
		14 dont 5	
Larson et al 2017	0.rusticus	lacs	100%
	P. leniusculus	11	66%
Agersnap et al 2017	A. astacus	23	100%
	P. leniusculus		100%
	A. leptodactylus		100%
Mauvisseau et al 2016	P. leniusculus	31	100%
	O. limosus		100%
	P. clarkii		100%

Conclusions

- Plus les volumes d'eau prélevés sont importants, meilleure est la détection
- Plus les abondances d'écrevisses sont élevées, meilleure est la détection

Résultats préliminaires d'étude en cours en France

- Détection de l'écrevisse à pattes blanches, *Austropotamobius pallipes* en milieux lotique et stagnant (région nouvelle aquitaine)
- Etude préliminaire de détection d'*Aphanomyces astaci* sur le bassin de la Sélune (Haute-Normandie)

Détection de l'écrevisse à pattes blanches en milieu lotique (2015)

 6 sites en milieu lotique (densité forte et faible), 3 périodes d'échantillonnage de Mai à Novembre : influence de la saison sur la détectabilité







Figure 1: Filtration d'eau pour l'analyse ADNe

Tableau 1 : Nombre de réplicas positifs pour la détection de l'Ecrevisse à pattes blanches en Mai, Août et Novembre

Site - Prélèvement Nombre de réplicas positifs en Mai		Nombre de réplicas positifs en Août	Nombre de réplicas positifs en Novembre	Densité observée en 201	
Site A - 1	0/12	0/12	10/12		
Site A - 2	2/12	0/12	2/12	Forte	
Site A - 3	4/12	0/12	6/12		
Site B - 1	0/12	3/12	7/12		
Site B - 2	0/12	1/12	3/12	Forte	
Site B - 3	9/12	1/12	6/12		
Site C - 1	0/12	0/12	0/12	F.Xe	
Site C - 2	0/12	0/12	0/12		
Site C - 3	0/12	0/12	0/12		
Site D - 1	0/12	0/12	1/12		
Site D - 2	1/12	0/12	0/12	Faible	
Site D - 3	0/12	0/12	-	1	
Site E - 1	6/12	0/12	1/12		
Site E - 2	5/12	3/12	3/12	Faible	
Site E - 3	2/12	1/12	1/12		
Site F - 1	0/12	0/12	0/12		
Site F - 2	0/12	0/12	1/12	Faible	
Site F - 3	0/12	0/12	0/12	П	

Détection de l'écrevisse à pattes blanches en milieu stagnant (2016)

- 3 sites en milieu lotique, 6 sites en milieu stagnant



Tableau 1 : Résultats de la détection de l'Ecrevisse à pattes blanches par l'ADN environnemental (approche spécifique) sur les 9 sites étudiés

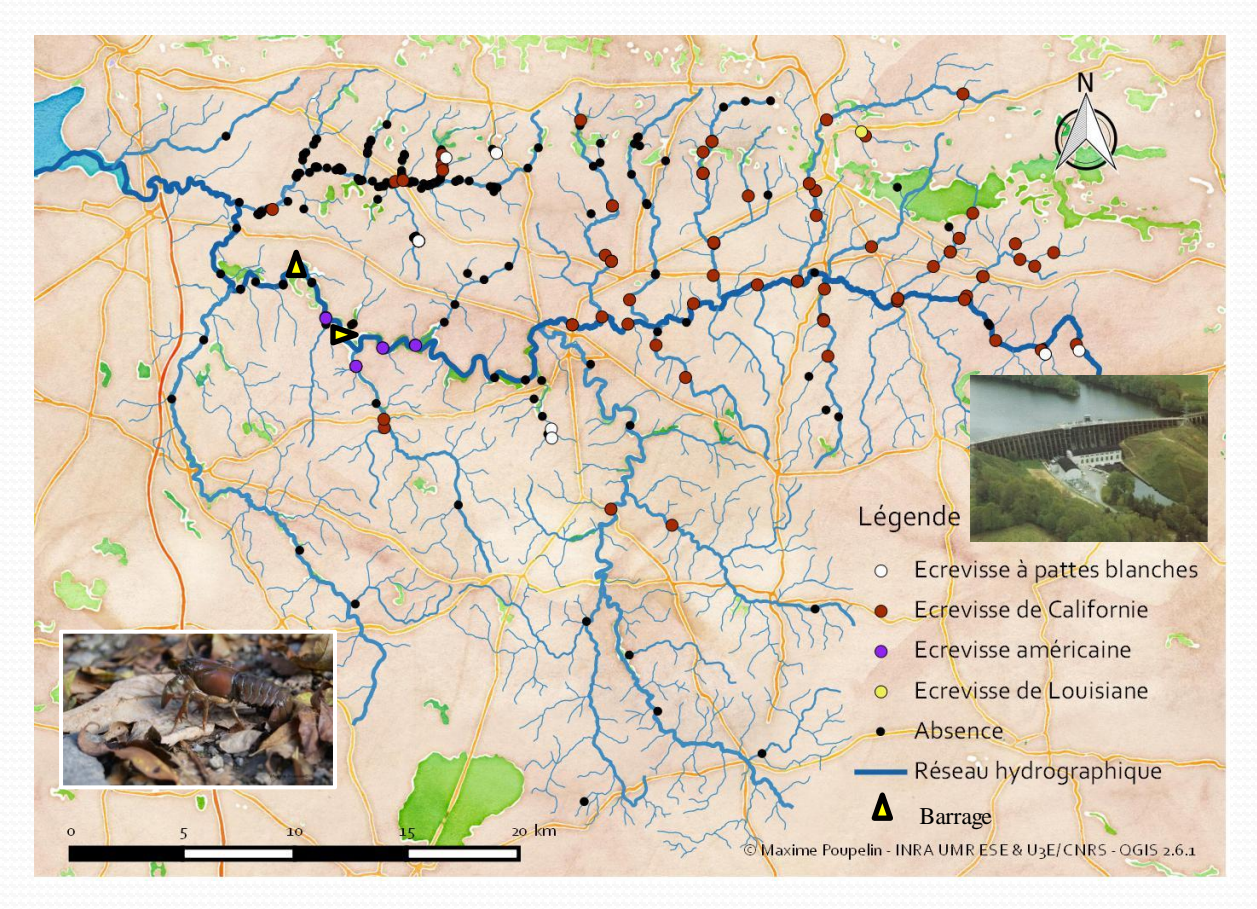
Туре	Site	Prélèvement	Détection de l'ADN d'Ecrevisses à pattes blanches	Nombre de réplicats positifs
		1		1/12
	JUREN	2	OUI	3/12
		3		1/12
Milieux courants	FONTR	1		7/12
		2	OUI	7/12
		3		6/12
	NAVAR	1		0/12
		2	NON	0/12
		3		0/12
	E104	1	OUI	2/12
	E121	1	OUI	1/12
Milieux	E122	1	OUI	1/12
stagnants	E124	1	NON	0/12
	E129	1	NON	0/12
	E136	1	OUI	6/12





Présence d'inhibiteur ? Caractéristiques de l'eau ?

- Etude préliminaire de détection d'*Aphanomyces astaci* sur le bassin de la Sélune (Haute-Normandie)

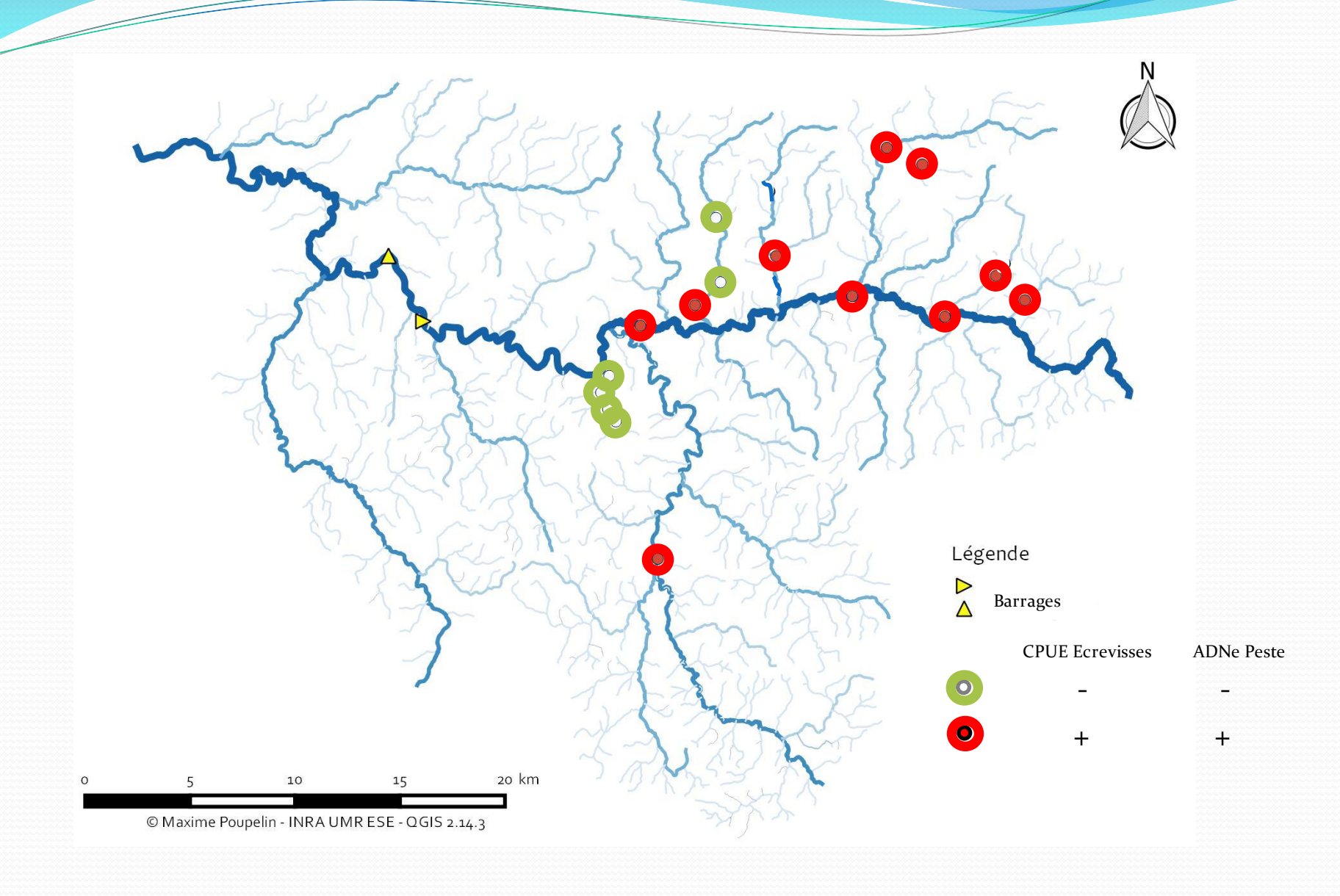


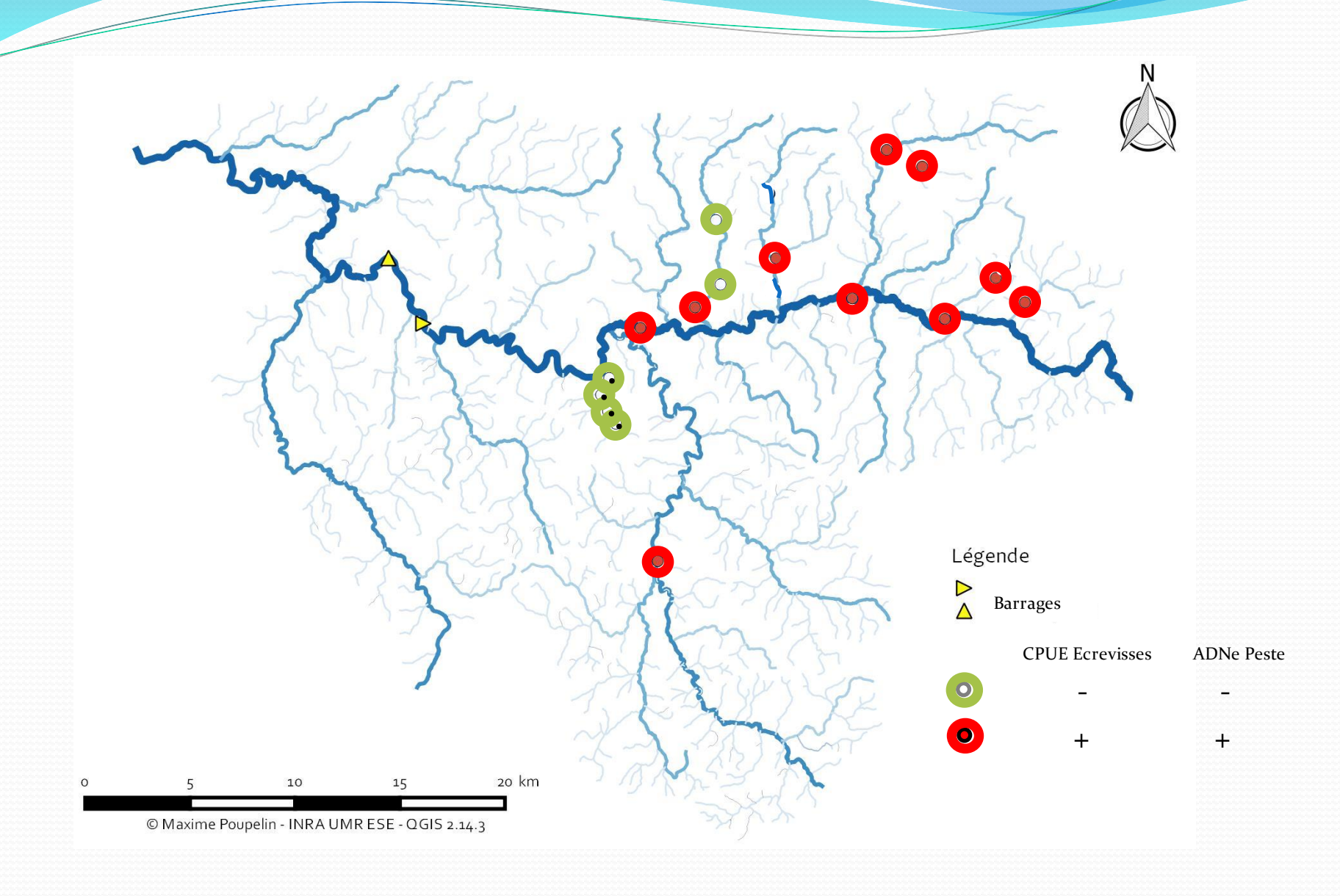
Eric Petit et al, UMR ESE, INRA, Agrocampus Ouest, Rennes Jean-Marc Paillisson, UMR ECOBIO, CNRS, Université Rennes 1, Rennes Frédéric Grandjean, Carine Delaunay, UMR EBI, CNRS, Université de Poitiers



Prélèvement d'eau (500 ml X4)







Conclusions

- Forte efficacité (hôte/peste)
- Effet de la saison sur l'efficacité de la détection
- Influence du volume prélevé sur la détection (notamment en milieu stagnant)
- Comment les paramètres environnementaux (physicochimie) influent sur la détectabilité
- Difficile de relier l'abondance estimée par capture/la quantité d'ADNe

